

# ORIGINAL ARTICLE

## Water Disinfection Using Photocatalytic Process with Titanium Dioxide Nanoparticles

Mohammad Ali Zazouli<sup>1</sup>,  
Mohammad Ahanjan<sup>2</sup>,  
Yousef Kor<sup>3</sup>,  
Masoumeh Eslamifar<sup>4</sup>,  
Mahboobeh Hosseini<sup>5</sup>,  
Maryam Yousefi<sup>6</sup>

<sup>1</sup> Associate Professor, Department of Environmental Health Engineering, Health Sciences Research Center, Faculty of Health, Mazandaran University of Medical Sciences, Sari, Iran

<sup>2</sup> Assistant Professor, Department of Microbiology, Faculty of Medicine, Mazandaran University of Medical Sciences, Sari, Iran  
<sup>3</sup> MSc in Water and Wastewater Engineering, Gomishan Health Center, Golestan University of Medical Sciences, Gorgan, Iran

<sup>4</sup> MSc in Microbiology, Faculty of Health, Mazandaran University of Medical Sciences, Sari, Iran

<sup>5</sup> MSc in Statistics, Faculty of Health, Mazandaran University of Medical Sciences, Sari, Iran

<sup>6</sup> MSc Student in Environmental Health Engineering, Student Research Committee, Faculty of Health, Mazandaran University of Medical Science, Sari, Iran

(Received December 14, 2014 ; Accepted March 7, 2015)

### Abstract

**Background and purpose:** Disinfection is one of the most important stages in water treatment. So far, various chemical disinfection methods such as chlorination have been widely used. However, these methods have serious disadvantages, like producing DBPs. The purpose of this research was to study the efficacy of nTiO<sub>2</sub> photocatalyst process on removing *E.Coli* as a water microbial pollution index and effects of some parameters on its efficiency.

**Materials and methods:** Water was artificially contaminated with *E.Coli*. Culture method and counting were performed according to standard methods for water and wastewater and was reported as CFU/ml. The size of nTiO<sub>2</sub> was 20 nm that was used in the presence or absence of UV for disinfection. The Kolmogorov-Smirnov Test was used to check the normality of the data. The ANOVA and T-Test were used for analyzing the data.

**Results:** The results indicated that the inactivation of *Escherichia coli* increased with increase of nTiO<sub>2</sub> catalyst dose and contact time. However, the efficiency decreased when the number of colonies increased. Minimum, average and maximum percentage removal of nTiO<sub>2</sub>+UV process were 75.1, 88.9±12.7, and 100%, respectively, in 40 min contact time and 0.8 g/L catalyst dose.

**Conclusion:** The bacteria mortality rate in the presence of UV alone was more than that of the nTiO<sub>2</sub> alone process. However, the efficiency of the photocatalytic process (UV+nTiO<sub>2</sub>) was more than that of the UV alone or nTiO<sub>2</sub> alone.

**Keywords:** *Escherichia coli*, water disinfection, photocatalyst, nTiO<sub>2</sub>

J Mazandaran Univ Med Sci 2015; 25(122): 227-238 (Persian).

## گندزدایی آب با استفاده از فرآیند فتوکاتالیستی با نانوذرات دیاکسید تیتانیوم

محمدعلی ززوی<sup>۱</sup>

محمد آهنگان<sup>۲</sup>

یوسف کر<sup>۳</sup>

مصطفویه اسلامی فر<sup>۴</sup>

سیده محبوبه حسینی<sup>۵</sup>

مریم یوسفی<sup>۶</sup>

### چکیده

**سابقه و هدف:** گندزدایی آب از مهم‌ترین مراحل تصفیه‌ی آب بوده و تاکنون از روش‌های شیمیایی مختلفی از جمله کلزنی برای گندزدایی استفاده شده است. اما این روش‌ها، مشکلات جدی همچون تولید DBPs را در پی دارند. لذا هدف از این تحقیق، مطالعه کارایی فرآیند فتوکاتالیستی با نانوذرات دیاکسید تیتانیوم ( $n\text{TiO}_2$ ) در حذف اشرشیاکلی به عنوان شاخص آلدگی میکروبی از آب و بررسی تاثیر بعضی از پارامترها بر کارایی آن می‌باشد.

**مواد و روش‌ها:** آب به صورت مصنوعی با اشرشیاکلی آلدود گردید. روش کشت و شمارش مطابق روش استاندارد کتاب روش‌های استاندارد آب و فاضلاب انجام و بر حسب CFU/mL گزارش شد. نانوذرات  $\text{TiO}_2$  با اندازه‌ی ۲۰ نانومتر در حضور یا عدم حضور نور فرابنفش جهت گندزدایی استفاده شد. برای بررسی نرمال بودن داده‌ها از آزمون اسینیفر-کولموگرف و جهت تحلیل داده‌ها از آزمون‌های پارامتری T-Test و ANOVA استفاده گردید.

**یافته‌ها:** نتایج حاکی از آن است که درصد نابودی اشرشیاکلی با افزایش دوز کاتالیست  $n\text{TiO}_2$  و زمان تماس افزایش می‌یابد، اما کارایی فرایند با افزایش تعداد کلنی کاهش می‌یابد. حداقل، میانگین و حداکثر درصد حذف  $n\text{TiO}_2+\text{UV}$  با غلظت ۸/۰ گرم در لیتر و زمان تماس ۴۰ دقیقه به ترتیب  $1/1, 75 \pm 12/7, 88/9$  و ۱۰۰ درصد می‌باشد.

**استنتاج:** میزان مرگ و میر باکتری در حضور نور فرابنفش (UV) تنها بیش از راندمان فرآیند با  $n\text{TiO}_2$  تنها است، لیکن کارایی فرآیند فتوکاتالیستی ( $n\text{TiO}_2+\text{UV}$ ) بیش از UV تنها و  $n\text{TiO}_2$  تنهاست.

**واژه‌های کلیدی:** اشرشیاکلی، گندزدایی آب، فتوکاتالیستی، نانوذرات دیاکسید تیتانیوم

### مقدمه

گزارش می‌شود (۱-۲). لذا انجام گندزدایی یکی از مهم‌ترین مراحل تصفیه‌ی آب جهت اطمینان از عاری بودن آب از باکتری‌های بیماری‌زا است. در حال حاضر هدف آلدگی آب به میکرووارگایی‌ها در آب‌های شرب

هرچند امروزه پیشرفت‌های زیادی در زمینه بهسازی و تصفیه آب انجام شده است اما همچنان آلدگی آب به میکرووارگایی‌ها در آب‌های شرب

این مقاله حاصل طرح تحقیقاتی شماره ۹۲-۱ است که توسط معاونت تحقیقات و فناوری دانشگاه علوم پزشکی مازندران تامین شده است.

**مؤلف مسئول:** مریم یوسفی - ساری: کیلوتر ۱۸ جاده خزرآباد، مجتمع دانشگاهی پامبر اعظم، دانشکده بهداشت

۱. دانشیار، گروه مهندسی بهداشت محیط، مرکز تحقیقات علوم بهداشتی، دانشکده بهداشت، دانشگاه علوم پزشکی مازندران، ساری، ایران

۲. استادیار، گروه میکروب‌شناسی و ویروس‌شناسی پزشکی، دانشکده پزشکی، دانشگاه علوم پزشکی مازندران، ساری، ایران

۳. کارشناس ارشد مهندسی آب و فاضلاب، مرکز بهداشت گیشان، دانشگاه علوم پزشکی گلستان، گرگان، ایران

۴. کارشناس ارشد میکروب‌پژوهی، دانشکده بهداشت، دانشگاه علوم پزشکی مازندران، ساری، ایران

۵. دانشجوی کارشناسی ارشد مهندسی بهداشت، دانشگاه علوم پزشکی مازندران، ساری، ایران

۶. دانشجوی کارشناسی ارشد مهندسی بهداشت محیط، کمیته تحقیقات دانشجویی، دانشکده بهداشت، دانشگاه علوم پزشکی مازندران، ساری، ایران

تاریخ دریافت: ۱۳۹۲/۹/۲۳ تاریخ ارجاع چهت اصلاحات: ۱۳۹۳/۱۱/۵ تاریخ تصویب: ۱۳۹۳/۱۲/۱۶

سطح انرژی پایین قرار گرفته و لایه‌ی هدایت که در سطح بالاتر است. فاصله‌ی انرژی بین لایه‌ی ظرفیت و لایه‌ی هدایت یک خاصیت ذاتی در نیمه‌رساناهای بوده و عامل تعیین‌کننده‌ی جمعیت لایه‌ی هدایت همراه با افزایش حرارت می‌باشد و هدایت حرارتی نیمه‌رساناهای را کنترل می‌نماید. وقتی این دو لایه بیشتر از ۳ الکترون ولت تفکیک شده باشند، غلظت الکترون آزاد کاهش بیش تری پیدا می‌کند و در نتیجه چنین ماده‌ای نارسانا می‌شود. گاف انرژی  $TiO_2/2$  الکترون ولت می‌باشد. برانگیختن نوری یک نیمه‌رسانا، منجر به بالا رفتن الکترون‌ها از لایه‌ی ظرفیت به لایه‌ی هدایت می‌شود. در فلزات چون سطوح پیوسته‌ای از انرژی وجود دارد، نیمه عمر زوج الکترون/ حفره چنان کوتاه است که الکترون حاصل از برانگیختن نوری قابل بهره‌برداری نیست. اما وجود گاف انرژی در نیمه‌رساناهای غیر فعال شدن سریع زوج‌های برانگیخته‌ی الکترون/ حفره، که فقط با بازترکیب، غیر فعال می‌شود، جلوگیری می‌کند. این امر، طولانی بودن نیمه عمر زوج الکترون/ حفره را برای شرکت در واکنش‌های انتقال الکترون در روی سطح ذره مهیا می‌کند.<sup>(۹)</sup>.

مطالعات متعدد نشان دادند که فرآیند فتوکاتالیستی در حذف میکروارگانیسم‌ها کارآمد می‌باشد<sup>(۱۰-۱۴)</sup>. اما هنوز سوالاتی در خصوص کارایی آن‌ها در نابودی پاتوژن‌ها، شرایط دقیق دوز مصرفی، زمان تماس و بار میکروبی و امکان کاربرد آن‌ها برای گندزدایی آب وجود دارد. لذا هدف از این تحقیق، مطالعه کارایی فرآیند فتوکاتالیستی با نانوذرات  $TiO_2$  در حذف اشربیاکلی به عنوان شاخص آلودگی میکروبی از آب و بررسی تاثیر بعضی از پارامترها بر کارایی آن می‌باشد.

## مواد و روش‌ها

- تهیه و کشت باکتری

از آنجایی که شاخص آلودگی قطعی آب باکتری اشریشیاکلی است لذا برای تهیه آب آلوده به میکرو-

گندزدایی آب صرفاً غیر فعال‌سازی ارگانیسم‌های پاتوژن نبوده بلکه اهدافی اصلی نظیر: حذف یا تقلیل تشکیل by-products (DBPs)؛ Tamین یک باقیمانده جهت کنترل آلودگی‌های ثانویه؛ مراقبت در Tamین میزان باقیمانده گندزدا در نقطه مصرف برای سلامت مصرف کنندگان مدنظر می‌باشد<sup>(۳)</sup>. تاکنون روش‌های گوناگونی جهت گندزدایی آب به کار گرفته شده است که کلرزنی به دلیل ارزانی و قابل دسترس بودن و اثر ابقایی مناسب متداول‌ترین ماده و روش گندزدایی است<sup>(۴)</sup> ولی مخاطرات جانی و مالی ناشی از نشت گاز کلر در محل بهره‌برداری و محیط زیست از یک طرف و عوارض سوء کیفیت محصولات فرعی گندزدایی، توجیه فنی کاربرد آن را به چالش‌های روزافزون سوق می‌دهد. لذا دانش جدید به دنبال پیدا شی ماده، ابزار و تکنیک‌های سازگار با محیط زیست است که ضمن ارتقاء کیفیت و راندمان گندزدایی آب و فاضلاب و صرف انرژی و هزینه‌ی کم‌تر، منجر به حداقل تولید محصولات فرعی مضر و حداقل پایداری در آب و فاضلاب گردد<sup>(۵)</sup>. در این شرایط کشف مواد و تکنیک‌های موثرتر در گندزدایی مانند اشعه ماوراء بنفش، گاز ازن، نمک طعام و ... به دلایلی از قبیل راندمان بیش‌تر، عوارض کم‌تر، سهولت در دستیابی، راحتی کاربرد، امنیت بیش‌تر، بهره‌برداری آسان‌تر و کنترل دقیق‌تر در حال گسترش روزافزون است<sup>(۶)</sup>. در سال‌های اخیر نانوذرات فتوکاتالیستی در طیف گسترده‌ای از زمینه‌های تحقیقاتی، از جمله زمینه‌های زیست محیطی مرکز توجه بوده‌اند<sup>(۷)</sup>. در میان نانو مواد مختلف، دی‌اکسید تیتانیوم ( $TiO_2$ ) فتوکاتالیست نیمه‌رسانایی است که بیش‌تر از همه مورد مطالعه و استفاده قرار گرفته است. خواص فتوکاتالیستی آن در برنامه‌های مختلف زیست محیطی برای حذف آلاینده‌ها از آب و هوا استفاده شده است<sup>(۸)</sup>. نیمه‌رساناهای برخلاف فلزات که دارای سطوح الکترونی پیوسته‌ای هستند، دارای دو سطح انرژی می‌باشند. لایه‌ی ظرفیت در

باکتری در میلی لیتر بوده، استفاده گردید. میزان جذب استاندارد مک فارلند در در دستگاه اسپکتروفوتومتر در طول موج ۶۲۰ نانومتر خوانده شد. تعدادی کلنی در ۱۰ میلی لیتر آب مقطر استریل مخلوط گردید و میزان جذب آن نیز قرائت گردید. میزان جذب برابر، نشان دهنده تعداد باکتری برابر در نمونه و استاندارد مک فارلند می باشد. غلظت های موردنیاز ۱۰۰، ۱۰۰۰ و ۱۰۰۰۰ CFU بوده که با رقیق سازی نمونه مقایسه شده با استاندارد مک فارلند به دست آمد. روش کشت و شمارش مطابق روش استاندارد کتاب روش های استاندارد آب و فاضلاب انجام شد(۱۶).



تصویر شماره ۱: کشت خطی باکتری E.Coli در محیط کشت EMB

#### تهیه استاندارد نیم مک فارلند

جهت استاندارد کردن غلظت تلقیح باید از استاندارد سولفات باریم، برابر با استاندارد نیم مک فارلند استفاده شود(۱۷). در جدول شماره ۱ نسبت استاندارد مک فارلند با تعداد تقریبی باکتری آمده است.

#### جدول شماره ۱: نسبت استاندارد مک فارلند با تعداد تقریبی باکتری

استاندارد مک فارلند	تعداد تقریبی باکتری ( $10^8$ ×) در میلی لیتر
۱/۵	۰/۵
۳	۱
۶	۲
۹	۳
۱۲	۴

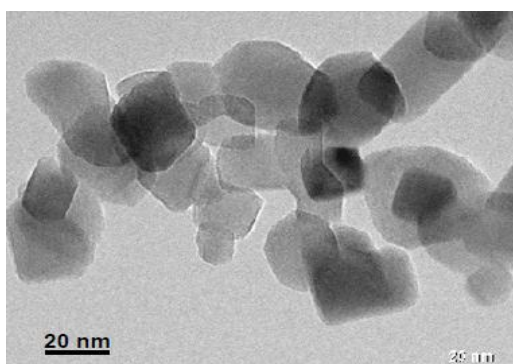
روش انجام فرآیند گندزداشی  
فرآیند فتوکاتالیستی با نانو ذره دی اکسید تیتانیوم  
تهیه شده از USNano، با اندازه آن ۲۰ نانومتر در حضور

ارگانیسم از اشرشیا کلی (PTCC: 1399(ATCC 25922) تهیه شده از مرکز منطقه ای کلکسیون قارچ ها و باکتری های صنعتی ایران (PTCC)، به شکل آمپول لیوفیلیزه استفاده شد. میکرووار گانیسم مطابق دستورالعمل مرکز مذکور تکثیر شد(۱۵). از آن جائی که میکرووار گانیسم به شکل آمپول لیوفیلیزه خریداری شد. برای باز کردن آمپول لیوفیلیزه به روش زیر عمل گردید: محیط کشت های (که در وبسایت مرکز منطقه ای قارچ ها و باکتری های صنعتی ایران برای E.Coli خریداری شده، توصیه گردیده بود) و agar EMB خریداری و برش دستورالعمل ساخته شد. مواد و لوازم مورد نیاز به مدت ۱۵ دقیقه در اتوکلاو استریل گردید. آمپول لیوفیلیزه در زیر هود لامینار بر روی تنظیف قرار داده شد. آمپول را با پنبه آغشته به الکل ضد عفونی نموده و با قلم در قسمتی که پنبه در داخل آمپول قرار داشت، خراش ایجاد کرده و شکانده شد. با پنس استریل پنبه را خارج نموده، سپس ۰/۴ میلی لیتر از محلول استریل (سرم فیزیولوژی) را به ماده خشک درون آمپول اضافه کرده و به دقت مخلوط شد تا سوسپانسیون یکنواختی ایجاد گردید. کل سوسپانسیون را روی یک لوله حاوی ۲۰ میلی لیتر محیط کشت (TSB) میلی لیتر میگردید. کل سوسپانسیون را روی یک لوله حاوی ۳۷ درجه منتقل نموده، در داخل انکوباتور با دمای سانتی گراد به مدت ۲۴ ساعت قرار داده شد. قطرات آخر سوسپانسیون روی پلیت حاوی محیط کشت EMB agar (جهت اطمینان از خلوص کشت) منتقل و کشت خطی داده شد. بقایای آمپول و لوازم مصرفی در اتوکلاو به مدت ۲۰ دقیقه در دمای ۱۲۱ درجه سانتی گراد و فشار ۱۵ Psi قرار داده شد(۱۵). سوسپانسیون انتقال داده شده به محیط کشت TSB، پس از ۲۴ ساعت از انکوباتور خارج شد و به محیط کشت EMB agar پلیت انتقال و کشت خطی داده شد (تصویر شماره ۱). پس از ۲۴ ساعت که پلیت در انکوباتور قرار گرفت، باکتری آماده گردید. برای رسیدن به غلظت های مورد نیاز از استاندارد ۰/۵ مک فارلند که معادل با  $10^8 \times 1/5$  میلی لیتر می باشد

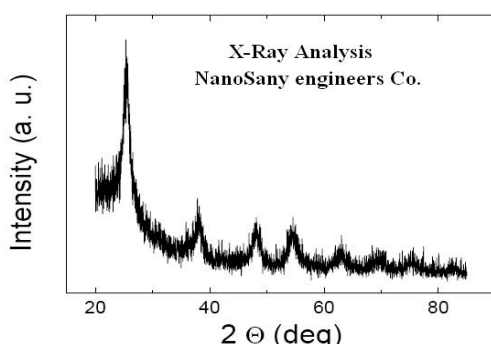
شده آمده است. همانطوریکه در این جدول دیده می شود اندازه نانو ذره در حدود ۲۰ نانومتر می باشند. تصویر TEM و XRD نانو ذره در تصاویر شماره ۲ و نمودار شماره ۱ آمده است.

جدول شماره ۲: مشخصات نانو ذره دی اکسید تیتانیوم اناناتاز و نقره

دی اکسید تیتانیوم اناناتاز	مشخصات
>۹۹	خلوص درصد
۱۰-۷۵	اندازه (نامتر)
۲۰۰-۴۰	مساحت سطح (متربع به ازای گرم)
سفید	رنگ
۳/۹	دانیته (گرم بر سانتی متر مکعب)
۶-۶/۵	pH
۴/۱۷	کاهش وزن ناشی از خشک شدن٪
۸/۲۴	کاهش وزن ناشی از سوزاندن٪



تصویر شماره ۲: عکس TEM از نانو ذره دی اکسید تیتانیوم



نمودار شماره ۱: XRD نانو ذره دی اکسید تیتانیوم

نور فرابنفش انجام شد. برای انجام فرآیند گندزدایی توسط نانو ذرات دی اکسید تیتانیوم از راکتور موصوف در ذیل استفاده شد. ابتدا نمونه ها را به ۵ ظرف انتقال داده و به هر کدام مقادیر مختلف شامل: ۰.۲، ۰.۴، ۰.۶ و ۰.۸ گرم در لیتر  $\text{TiO}_2$  افزوده و در تماس با اشعه UV قرار گرفت. از هر ظرف در زمان های ۱۰، ۲۰، ۴۰ و ۶۰ دقیقه نمونه برداری صورت گرفت. دامنه دوز نانو ذرات و زمان نمونه برداری بر اساس مطالعات پیشین انتخاب و تعیین گردید(۱۱-۱۲).

#### - راکتور مورد استفاده

در این مطالعه از راکتوری از جنس مکعب مربعی جنس شیشه ای استفاده شد. در وسط راکتور جایی ویژه برای استقرار لامپ فرابنفش و ظروف حاوی نمونه در نظر گرفته شد. لامپ با پوشش کوارتزی احاطه شد تا به طور مستقیم با آب تماس پیدا نکند. پیک طول موج منتشره از لامپ فرابنفش مورد استفاده در این مطالعه،  $247/3$  نانومتر و از نوع UV-C بود. اطراف راکتور شیشه ای جهت حفاظت در برابر اشعه لامپ UV با فویل آلومینیومی پوشانده گردید. اختلاط در راکتور با استفاده از همزن مغناطیسی و مگنت انجام گرفت. جهت خنک سازی راکتور از مبرد آبی استفاده گردید. نمونه برداری در زمان های ۱۰، ۲۰، ۴۰ و ۶۰ دقیقه انجام شده و روند حذف اشرشیاکی در این راکتور بررسی شد. شدت لامپ UV، مورد استفاده در راکتور از دستگاه رادیومتر هنگر مدل ECL-X مخصوص اندازه گیری شدت لامپ های محدوده تابشی UV-C استفاده می شود. شدت لامپ در فاصله نصف قطر راکتور (حدود ۷ سانتی متری)، در زمان های مختلف کنترل و مورد اندازه گیری قرار گرفت. شدت لامپ برابر  $1/8 \text{ w/m}^2$  بود.

#### یافته ها

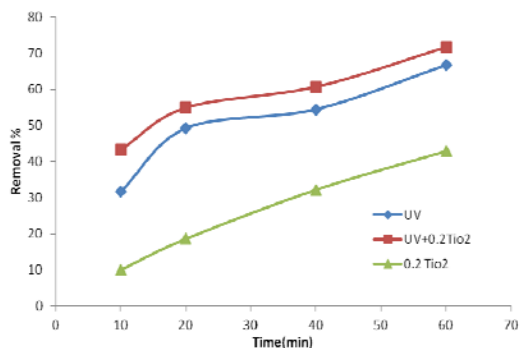
##### - مشخصات نانو ذره

در جدول شماره ۲ مشخصات نانو ذره خریداری

#### - آزمون نرمال بودن داده ها

جهت بررسی نرمال بودن داده ها از آزمون اسمنیف-کولمو گرف (Kolmogorov-Smirnov Test) استفاده شد. چنان چه  $p < 0.05$  باشد، یعنی آن است که

الف. پراکندگی آزمون نرمال است.  
ب. محاسبه شده از داده ها



نمودار شماره ۲: تاثیر  $nTiO_2$  و UV بصورت تنها و تلفیقی در حذف باکتری اشرشیاکلی آب (تعداد باکتری  $10^5$  کلنی در میلی لیتر).

بررسی اثرات مقابله بین سه فرایند فتو، کاتالیست و فتوکاتالیستی در کارایی گندزدایی (با  $10^5$  کلنی در میلی لیتر و غلظت نانو تیتانیوم  $2/0.2$  گرم در لیتر) با استفاده از آزمون آماری LSD با اطمینان ۹۵ درصد انجام شد. نتیجه آنالیز واریانس نشان داد که تاثیر فرایند UV تنها در مقایسه با UV تنها معنی دار است ( $p<0.05$ ) همچنین مقایسه اثر فرایند فتوکاتالیستی  $nTiO_2+UV$  با  $nTiO_2$  تنها معنی دار است ( $p<0.05$ )، اما تاثیر فرایند UV در مقایسه با فرایند  $nTiO_2+UV$  معنی دار نیست ( $p>0.05$ ). هرچند کارایی گندزدایی فرایند فتوکاتالیستی ( $nTiO_2+UV$ ) بیش از UV تنها است.

#### تاثیر تعداد میکرووارگانیسم

برای تعیین اثر تعداد باکتری (CFU/mL) بر عملکرد فرایند فتوکاتالیستی با UV/ $nTiO_2$ ، اشرشیاکلی با سه دانسته غلظت یعنی  $10^3$  CFU/mL،  $10^4$  CFU/mL و  $10^5$  CFU/mL در حضور  $0.2$  گرم در لیتر ذرات  $nTiO_2$  و UV قرار گرفت. شرایط pH ثابت حفظ شد و زمان ۲۰، ۴۰ و ۶۰ دقیقه تماس برقرار شد. نمودار شماره ۳ بیانگر تاثیر تعداد کلنی بر کارایی فرایند فتوکاتالیستی UV/ $nTiO_2$  در حذف اشرشیاکلی است. دوز ذرات  $nTiO_2$  در این سری آزمایشات  $0.2$  گرم در لیتر بود.

داده ها نرمال می باشند. در این صورت از آزمون های پارامتری T-Test و ANOVA برای تحلیل داده ها استفاده خواهد شد. نتیجه آزمون نرمال بودن داده های برای کلیه آزمایشات فرآیند فتوکاتالیستی با تیتانیوم اکسید در جدول شماره ۳ آمده است. همان طوری که در این جدول دیده می شود،  $p>0.05$  که بیانگر نرمال بودن داده است.

- تاثیر  $UV$  و  $nTiO_2$  بر راندمان فرآیند  
برای تعیین اثر  $UV$  و  $nTiO_2$  به صورت تنها و تلفیقی سه سری فرآیند انجام شد. در هر سه آزمایش تعداد ثابتی از کلنی در میلی لیتر ( $10^5$ ) استفاده شد. آزمایش اول فقط باکتری در تماس با نور UV بدون  $nTiO_2$  قرار گرفت. در آزمایش دوم باکتری در تماس با  $nTiO_2$  بدون نور UV قرار گرفت. آزمایش سوم باکتری در تماس با نور UV و  $nTiO_2$  قرار گرفت. غلظت  $nTiO_2$ ،  $0.2$  گرم در لیتر به کار گرفته شد. در زمان های  $20$ ،  $40$  و  $60$  دقیقه برای هر سری آزمایش راندمان تعیین شد. روند و میزان مرگ و میر حذف باکتری در طی زمان های مختلف در نمودار شماره ۲ آمده است. همان طوری که این نمودار نشان می دهد، میزان مرگ و میر  $nTiO_2$  در حضور نور UV تنها بیش از راندمان فرآیند  $nTiO_2$  نهایتی است لیکن کارایی فرآیند فتوکاتالیستی  $(nTiO_2+UV)$  بیش از UV تنها و  $nTiO_2$  تنها است.

جدول شماره ۳: آزمون اسپیرف-کولموگروف جهت نرمال بودن داده های مربوط به فرآیند  $nTiO_2+UV$

تعداد (N)	تاثیر UV و $nTiO_2$ با E.Coli		
	تاثیر $nTiO_2$	تاثیر $nTiO_2+UV$	تاثیر UV
پارامتر نرمال (نسبت)	۵۹/۱۳۹۰	۷۱/۴۴۷۰	۴۶/۶۲۹۲
حداکثر اختلافات	۱۶/۹۰۸۲۲	۱۷/۲۱۳۰	۱۸/۸۲۱۳۳
مطلق	۰/۱۱۲	۰/۱۲۸	۰/۱۲۹
مشتبه	۰/۱۰۲	۰/۰۸۵	۰/۰۸۴
منفی	-۰/۱۱۲	-۰/۱۱۸	-۰/۱۲۹
آماره آزمون اسپیرف-کولموگروف (Z)	۰/۵۰۳	۰/۴۴۴	۰/۴۴۸
سطوح معنی داری مجذوبی (2 طرفه)	۰/۹۶۲	۰/۹۸۹	۰/۹۸۸
(Asymp. Sig. (2-tailed))			

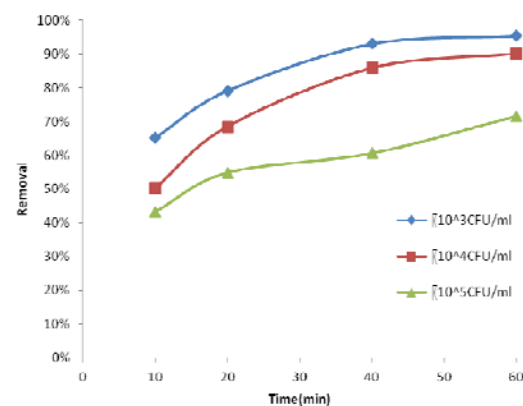
بنابراین لازم بود اثر بار کاتالیست در غیرفعالسازی اشرشیاکلی بررسی شود. برای این منظور چهار غلظت نانوذرات دی اکسید تیتانیوم یعنی  $0/2 \times 10^4$ ,  $0/4 \times 10^5$ ,  $0/6 \times 10^5$  و  $0/8 \times 10^5$  گرم در لیتر استفاده شود. برای مشاهده بهتر نتایج، گرمی باکتریایی آب مورد آزمایش در حدود تقریبی  $10^5$  CFU/mL تنظیم شد. نتایج این مرحله آزمایش در جدول شماره ۴ ذکر شده است. نتایج حاکی از آن است که در صد نابودی اشرشیاکلی با افزایش دوز کاتالیست  $n\text{TiO}_2$  و زمان تماس افزایش می‌یابد. نتیجه آنالیز واریانس مربوط به مقایسه تاثیر دوز  $n\text{TiO}_2$  بر کارایی گندздایی با استفاده از فرآیند فتوکاتالیستی  $\text{UV} \times 10^5$  CFU/mL نشان داد که فرایند گندздایی با  $\text{UV} + \text{TiO}_2$  تنها، در مقایسه با فرایند فتوکاتالیستی  $n\text{TiO}_2$  معنی‌دار نبوده ( $p > 0/05$ ), اما  $0/2$  گرم در لیتر  $n\text{TiO}_2$  معنی‌دار نبوده ( $p < 0/05$ ). در سایر موارد ( $0/4$ ,  $0/6$  و  $0/8$ ) معنی‌دار است ( $p < 0/05$ ). همچنین کارایی نابودی باکتری در دوز  $0/8$  گرم در لیتر دی اکسید تیتانیوم با دوز  $0/2$  گرم در لیتر  $n\text{TiO}_2$  معنی‌دار است ( $p < 0/05$ ) و در سایر موارد معنی‌دار نیست ( $p > 0/05$ ).

#### تأثیر اثر زمان تماس

در نمودار شماره ۴ تاثیر زمان تماس  $10$ ,  $20$ ,  $40$  و  $60$  دقیقه بر کارایی گندздایی ( $\times 10^5$  CFU/mL) روش فتوکاتالیستی نانوذرات دی اکسید تیتانیوم نشان می‌دهد. همان‌طوری که دیده می‌شود با افزایش زمان تماس کارایی گندздایی افزایش یافت. نتیجه آنالیز واریانس مربوط به مقایسه تاثیر زمان تماس بر کارایی گندздایی با استفاده از فرآیند فتوکاتالیستی  $n\text{TiO}_2$   $\times 10^5$  CFU/mL نشان داد که کارایی فرآیند

همان‌طوری که نمودارهای این شکل نشان می‌دهد، کارایی فرآیند با افزایش تعداد کلنی کاهش می‌یابد به طوری که کارایی گندздایی با افزایش تعداد کلنی‌ها به  $10^5$  در میلی لیتر کمتر از زمانی است که تعداد کلنی  $10^4$  و  $10^3$  در میلی لیتر می‌باشد.

نتیجه آنالیز واریانس مربوط به مقایسه تاثیر دانسیته باکتری بر کارایی گندздایی با استفاده از فرآیند فتوکاتالیستی (غلظت تیتانیوم  $0/2$  گرم در لیتر) نشان داد که راندمان حذف در دو غلظت پیاپی معنی‌دار نیست ( $p > 0/05$ ). فقط بین حالتی که تعداد کلنی  $10^3$  CFU/mL است با حالتی که تعداد کلنی  $10^5$  CFU/mL می‌باشد، تاثیرشان معنی‌دار است ( $p < 0/05$ ). زیرا هرچه دانسیته باکتری افزایش یابد میزان تماس با نانوذرات و محصولات فتوکاتالیستی کاهش می‌یابد.



نمودار شماره ۳: تاثیر تعداد کلنی بر کارایی فرایند فتوکاتالیستی UV/ $n\text{TiO}_2$  (غلظت ذرات  $0/2$  گرم در لیتر)

تأثیر غلظت نانو تیتانیوم اکسید مطالعات نشان داد که بار کاتالیست  $\text{TiO}_2$  در گندздایی فتوکاتالیستی نقش موثری ایفا می‌کند ( $10^{-5}$  g/l  $n\text{TiO}_2$ )

جدول شماره ۴: تاثیر غلظت نانو تیتانیوم بر کارایی فرایند فتوکاتالیستی UV/ $n\text{TiO}_2$  در حذف اشرشیاکلی در زمان‌های مختلف ( $\times 10^5$  CFU/mL)

	زمان تماس (دقیقه)										شماره آزمایش	
	۶۰	۴۰	۲۰	۱۰	۶۰	۴۰	۲۰	۱۰	۶۰	۴۰		
	حداکثر	Ave $\pm$ SD	حداکثر	Ave $\pm$ SD	حداکثر	Ave $\pm$ SD	حداکثر	Ave $\pm$ SD	حداکثر	Ave $\pm$ SD	حداکثر	
۸۲/۹	۱۱ $\pm$ ۷۴/۹	۶۵/۲	۷۸/۷	۹/۸ $\pm$ ۶۹/۹	۵۹/۳	۶۶/۵	۱۰ $\pm$ ۵۶/۳	۴۵/۹	۴۴/۸	۴۳ $\pm$ ۱/۸	۳۷/۳	۰/۲
۹۰/۳	۳/۹ $\pm$ ۵/۹	۸۲/۹	۸۳/۵	۶/۸ $\pm$ ۷/۴	۷۰	۷۷/۴	۸/۵ $\pm$ ۶۵/۴	۵۵/۹	۵۸/۶	۷/۶ $\pm$ ۵۱/۳	۴۳/۵	۰/۴
۹۳/۱	۳/۱ $\pm$ ۸۹/۶	۸۷/۱	۸۵/۵	۴/۱ $\pm$ ۸۱/۲	۷۷/۱۵	۸۰	۸/۷ $\pm$ ۷۳/۳	۶۴/۵	۷۶/۶	۱۱ $\pm$ ۸۸/۵	۵۵/۹	۰/۶
۱۰۰	۱۰/۷ $\pm$ ۹۰/۶	۷۷/۹	۱۰۰	۱۲/۷ $\pm$ ۸۸/۹	۷۵/۱	۹۴/۲	۱۱/۵ $\pm$ ۸۴/۶	۷۱/۹	۸۶/۵	۹/۵ $\pm$ ۸۰/۶	۹۹/۷	۰/۸

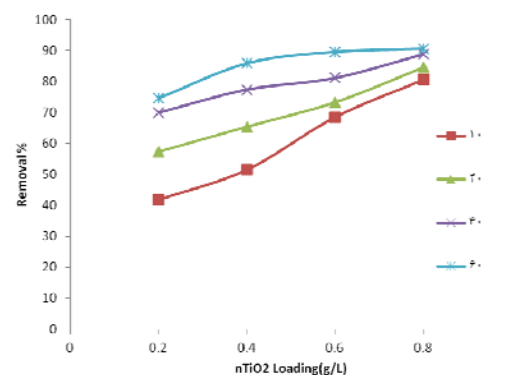
کلیفرم در حضور تابش UV و تماس با  $TiO_2$  به صورت مجزا کمتر از حالت تلفیقی  $TiO_2+UV$  بود. همچنین راندمان  $TiO_2$  تنها کمتر از UV تنها گزارش شد. به طوری که راندمان حالت تلفیقی چند برابر حالت تنها نور یا کاتالیست است. آنها بیان داشتند که در حالت تلفیقی رادیکال‌های هیدروکسیل تولید می‌شود که منجر به افزایش کارایی فرآیند می‌شود. اما در غیاب UV ذرات  $TiO_2$  جذب بعضی میکرووارگانیسم‌ها می‌شوند که موجب راندمان کم در حذف کلیفرم‌ها می‌شوند (۱۸).

مطالعه Cheng و همکاران در خصوص تصفیه آب با استفاده از نانو نیمه‌هادی نظیر  $TiO_2$  و  $ZnO$  به صورت  $nTiO_2+UV$  موثرتر از  $ZnO$  نانوذره  $TiO_2$  است. به علاوه آنها نشان دادند که تنها موثرتر از  $TiO_2$  تنها در حذف اشرشیاکلی می‌باشد. آنها با مقایسه‌ای بین فرآیند فتوکاتالیستی  $TiO_2$  با نور UVC و  $UVA$  دریافتند که فرآیند  $TiO_2+UVC$  در  $TiO_2+UVA$  حذف اشرشیاکلی موثرتر از فرآیند  $TiO_2+UVA$  می‌باشد. غلظت نانوذرات دی‌اکسید تیتانیوم  $0/۰۱$  تا  $۱$  گرم در لیتر استفاده شد (۱۱).

Sunada و همکاران در مطالعه‌ای بیان داشتند که مکانیسم نابودی اشرشیاکلی با فرایند فتوکاتالیستی  $nTiO_2$  دارای سه مرحله زیر است: (۱) لایه بیرونی غشاء مورد حمله قرار می‌گیرد و به طور جزئی توسط گونه‌های بسیار واکنش‌پذیر نظیر  $H_2O_2$ ،  $O_2^-$  و  $OH^-$  متلاشی می‌شوند؛ (۲) بهم خوردن ترتیب غشاء داخلی که منجر به پیش‌اکسیداسیون چربی غشاء و در نهایت نابودی سلول خواهد شد؛ (۳) سلول‌های مرده متلاشی می‌گردند. چنانچه تابش نور تا مدت زمان کافی ادامه یابد، اشرشیاکلی کلی به طور کامل به دی‌اکسید کربن، آب و سایر مواد معدنی تبدیل خواهد شد (۱۹).

تاثیر غلظت نانو تیتانیوم اکسید نتایج حاکی از آن است که درصد نابودی اشرشیاکلی با افزایش دوز کاتالیست  $nTiO_2$  و زمان

فتوکاتالیستی در زمان  $10$  دقیقه در غلظت  $۰/۰۵$  و  $۰/۴$  گرم در لیتر  $nTiO_2$  با زمان تماس  $۲۰$ ،  $۴۰$  و  $۶۰$  دقیقه معنی‌دار است ( $p<0/05$ ). در حالی که کارایی فرآیند براساس زمان با افزایش غلظت نانوذره  $nTiO_2$  با غلظت‌های  $۰/۰۶$  و  $۰/۰۸$  گرم معنی‌دار نیست ( $p>0/05$ ). به عبارتی در حالت‌هایی که غلظت‌های بیشتری از  $nTiO_2$  بکاربرد گرفته شد معنی‌دار نیست ( $p>0/05$ )، هر چند روند افزایشی محسوسی وجود دارد.



**نمودار شماره ۴:** تاثیر زمان تماس بر کارایی فتوکاتالیستی  $nTiO_2+UV$  در گندздایی با تعداد اولیه  $10^5$  CFU/mL اشرشیاکلی

## بحث

تاثیر UV و  $nTiO_2$  بر راندمان فرآیند این مطالعه نشان داد که کارایی فرآیند فتوکاتالیستی ( $nTiO_2+UV$ ) بیش از  $UV$  و  $nTiO_2$  به تهایی است و میزان مرگ و میر در حضور نور UV تنها بیش از راندمان فرآیند با  $nTiO_2$  تنها است. نتایج این مطالعه با سایر مطالعات همخوانی دارد. مطالعه رحیم و همکاران در خصوص غیرفعال سازی اشرشیاکلی با تعداد  $10^4$  CFU/mL در حضور UV و نانوذرات دی‌اکسید تیتانیوم آناتاز با اندازه  $۳$  تا  $۷$  نانومتر نشان داد که اثر نور UV تنها و کاتالیست  $nTiO_2$  تنها در غیرفعال‌سازی تفاوت چندانی ندارد اما میزان غیرفعال‌سازی باکتری در حالت فتوکاتالیستی بیشتر می‌باشد (۱۰). رحمانی و همکاران هم در خصوص حذف کلیفرم توسط روش فتوکاتالیستی با  $TiO_2$  بیان داشتند که راندمان حذف

برای غیرفعالسازی کافی نمی‌باشد. در ضمن غلظت ۲/۵ گرم در لیتر  $n\text{TiO}_2$  موجب اشباع شدن سوسپانسیون شده و موجب اثر پراکندگی نور و حالت بازدارنده‌گی فرایند می‌شود(۱۰). در تحقیق حاضر  $n\text{TiO}_2$  با چهار غلظت کمتر از ۱ گرم در لیتر به کار گرفته شد که با افزایش غلظت درصد غیرفعالسازی باکتری افزایش می‌یابد به طوری که در غلظت ۰/۶ و ۰/۸ میلی‌گرم در لیتر  $n\text{TiO}_2$  و زمان تماس ۶۰ دقیقه ماکزیمم حذف (در حالت متوسط) یعنی قریب ۹۰ درصد باکتری‌ها نابود می‌شوند (به جدول ۴ مراجعه شود). مطالعه حذف کلیفرم توسط روش فتوکاتالیستی با  $\text{TiO}_2$  با غلظت صفر تا ۱/۴ گرم در لیتر توسط رحمانی و همکاران نشان داد که راندمان حذف کلیفرم با افزایش غلظت تا ۰/۸ گرم در لیتر افزایش می‌یابد اما در غلظت‌های بیشتر قابلیت گندزدایی کاهش می‌یابد. علت آن جذب و پراکندگی نور UV توسط ذرات معلق دی‌اکسید تیتانیوم اعلام شد(۱۸).

Pratap Reddy و همکاران از  $\text{TiO}_2$  تها و اکسید تیتانیوم که بر روی نوعی زئولیت Zeolite ( $\text{H}\beta$ ) ثبیت شده بود جهت گندزدایی فتوکاتالیستی اشرشیاکلی استفاده نمودند. در این مطالعه دانسته اشرشیاکلی راندمان حذف در مدت ۴۰ دقیقه تماس به ۹۹ درصد  $10^7 \text{ CFU/mL}$  تنظیم شد. در حالت  $\text{TiO}_2$  تنها، غلظت آن از ۰/۱ تا ۱/۵ گرم در لیتر انتخاب شد که بعد از ۲۸۰ دقیقه باکتریها به طور کامل حذف شدند. آن‌ها مشاهده کردند که با افزایش غلظت کاتالیست، کارایی حذف افزایش می‌یابد و در غلظت ۰/۷۵ ۰/۷۵ گرم در لیتر کاتالیست راندمان حذف در مدت ۴۰ دقیقه تماس به درصد رسید. افزایش غلظت بیش از ۰/۷۵ گرم در لیتر موجب کاهش حذف باکتری‌ها شد که ناشی از افزایش کدورت محلول می‌باشد. افزایش کدورت محلول نفوذ نور UV را کاهش می‌دهد و بنابراین تعداد کمتری از رادیکال هیدروکسیل تولید خواهد شد که منجر به کاهش فعالیت باکتری کشی خواهد شد. از طرفی افزایش مقدار کاتالیست منجر به غیرفعالسازی

تماس افزایش می‌یابد. این نتیجه مطابق با نتایج تحقیق دیگران بود(۲۰،۱۸،۱۲،۱۰).

Lydakis-Simantiris و همکاران برای گندزدایی فتوکاتالیستی از نانوذرات  $\text{TiO}_2$  با دوز ۰/۵ تا ۱ گرم در لیتر برای آب طبیعی و فاضلاب استفاده نمودند. هدف آن‌ها نابودی کلیفرم‌های کل و انتروکوکسی‌ها بود. آن‌ها دریافتند که افزایش بار کاتالیست از ۰/۵ به ۱ گرم در لیتر موجب تشدید نابودی باکتری‌ها شد. هم‌چنین بیان داشتند که انتروکوکسی‌ها نسبت کلیفرم‌ها مقاومت بیشتری به گندزدایی به روش فتوکاتالیستی نشان دادند. این ناشی از آن است که ساختار دیواره سلولی میکروارگانیسم‌ها متفاوت خواهد بود. دیواره سلولی کلیفرم‌های کل، سلول باکتری‌های گرم منفی، دارای لایه پیتیدوگلیکان نازکتری در مقایسه با انتروکوکسی‌ها، به عنوان گرم مثبت، می‌باشند. هم‌چنین یکی از دلایل مقاومت بیشتر انتروکوکسی‌ها ناشی از ترکیب کپسول پلی‌ساقاریدها لایه بیرون دیواره سلولی است. این ترکیب خیلی لزج است و به عنوان پوشش ممانعت‌کننده عمل می‌کند. در نهایت حمله اکسیدکنندگی غشاء سلولی موجب پیش اکسیداسیون چربی خواهد شد. بنابراین ترکیبی از آسیب به غشاء سلولی و حملات اکسیدکنندگی اجزاء داخل سلولی منجر به مرگ سلول خواهد شد. هرچه غلظت نانوذرات  $\text{TiO}_2$  افزایش می‌یابد، میزان نفوذ  $\text{TiO}_2$  افزایش یافته و میزان آسیب بین سلولی افزایش می‌یابد(۱۲). مطالعه رحیم و همکاران در خصوص غیرفعال سازی اشرشیاکلی با تعداد  $10^8 \text{ CFU/mL}$  در حضور UV و نانوذرات دی‌اکسید تیتانیوم آناتاز با اندازه ۳ تا ۷ نانومتر و سه دوز ۰/۱ و ۰/۵ گرم در لیتر نشان داد که درصد بقاء اشرشیاکلی با افزایش زمان تماس و غلظت نانوذره کاهش می‌یابد. آن‌ها نشان دادند که میزان غیرفعالسازی بهینه اشرشیاکلی در حضور دوز ۱ گرم در لیتر  $n\text{TiO}_2$  در زمان تماس بیش از ۳ ساعت در حدود ۸۰ درصد می‌باشد. بیان داشتند که غلظت ۰/۱ گرم در لیتر  $n\text{TiO}_2$

(N-Dope nTiO<sub>2</sub>) نشان داد که پس از تماس با نور خورشید به مدت ۲ ساعت، تعداد کلی اشرشیاکلی از  $10^5$  CFU/mL به  $10^9$  CFU/mL کاهش یافت. برای فرآیند فتوکاتالیستی با نانوذرات دیاکسید تیتانیوم با نام تجاری Degussa P25 تعداد شمارش سلولی به  $10^3$  CFU/mL کاهش یافت اما برای فرآیند فتوکاتالیستی با N-Dope nTiO<sub>2</sub> شمارش سلول اشرشیاکلی قابل شناسایی نبود. سرعت غیرفعال‌سازی اشرشیاکلی از واکنش درجه اول پیروی می‌کند(۱۴). همچنین مطالعه و همکاران Pratap Reddy که از TiO<sub>2</sub> تنها و اکسید تیتانیوم ثبت شده بر روی نوعی زئولیت (H $\beta$  Zeolite) جهت گندزدایی فتوکاتالیستی اشرشیاکلی با دانسته  $10^7$  CFU/mL استفاده نمودند، دریافتند که با افزایش زمان تماس تا ۲۸۰ دقیقه، راندمان حذف روند افزایشی دارد به طوری که در حالت TiO<sub>2</sub> تنها، بعد از ۲۸۰ دقیقه باکتری‌ها به طور کامل حذف شدند(۲۰). مطالعه Kumar و Raza در خصوص گندزدایی فتوکاتالیستی آب با کامپوزیت نانو کریستال Ag-TiO<sub>2</sub> نشان داد که با افزایش زمان ماند تا ۶۰ دقیقه تعداد باکتری‌ها به شدت کاهش می‌یابد(۲۱). با توجه به یافته‌ها و بحث به عمل آمده، نتیجه گیری حاصل از این تحقیق به شرح زیر می‌باشد:

کارایی گندزدایی فرآیند فتوکاتالیستی nTiO<sub>2</sub>+UV یعنی نور UV اثر تشید کنندگی بر کارایی نانوذرات دارد. مقایسه اثر گندزدایی فرآیند فتوکاتالیستی با فرایند nTiO<sub>2</sub>+UV تها و UV تنها معنی دار است( $p < 0.05$ )، اما تاثیر فرایند UV در مقایسه با فرایند nTiO<sub>2</sub>+UV در دوز  $0/2$  گرم در لیتر nTiO<sub>2</sub> معنی دار نیست( $p > 0.05$ ). هرچند کارایی گندزدایی فرآیند فتوکاتالیستی (nTiO<sub>2</sub>+UV) بیش از UV تنها است. همچنین تاثیر فرایند nTiO<sub>2</sub> تنها در مقایسه با UV تنها معنی دار است( $p < 0.05$ ).

حداقل، میانگین و حداقل درصد حذف nTiO<sub>2</sub>+UV با غلظت  $0/8$  گرم در لیتر و زمان تماس

مولکول‌های فعال به واسطه تصادم مولکول‌ها و همچنین تجمع TiO<sub>2</sub> موجب کاهش سطح موثر کاتالیست خواهد شد. در این مطالعه نتیجه گرفته شد که غلظت  $0/75$  گرم در لیتر کاتالیست غلظت بهینه جهت حذف اشرشیاکلی است. همچنین آنان بیان داشتند که TiO<sub>2</sub> ثبت شده بر روی زئولیت راندمان بیشتری نسبت به TiO<sub>2</sub> تنها دارد(۲۰). نتیجه آنالیز واریانس نشان داد که فقط کارایی نابودی باکتری در دوز  $0/8$  گرم در لیتر با  $0/2$  گرم در لیتر nTiO<sub>2</sub> معنی دار است و در سایر موارد معنی دار نیست. هرچند با افزایش دوز نانو، نابودی باکتری‌ها روند افزایش دارد اما این افزایش کند است که ناشی از اثرات پراکندگی نور بواسطه افزایش مقدار نانوذره خواهد بود. مطالعه Coleman و همکاران هم نشان داد که در غلظت‌های زیاد nTiO<sub>2</sub>، اثر سایه و کدورت غالب شده و بنابراین میزان نوری که به نانوذره می‌رسد را کاهش خواهد داد(۱۳).

#### تأثیر اثر زمان تماس

در این مطالعه با افزایش زمان تماس کارایی گندزدایی افزایش یافت. در واقع هرچه زمان تماس افزایش یابد، میزان تماس نانوذرات با باکتری، نفوذ آن به داخل سلول باکتری، تولید رادیکال‌ها و گونه‌های بسیار واکنش‌پذیر نظیر OH<sup>-</sup>, O<sub>2</sub><sup>-</sup> و H<sub>2</sub>O<sub>2</sub> بیشتر شده و میزان مرگ و میر باکتری‌ها افزایش می‌یابد(۱۹). رحمانی و همکاران نشان دادند که حذف فتوکاتالیستی با کاتالیست TiO<sub>2</sub> باکتری‌های کلیفرم با افزایش زمان تماس (از ۵ دقیقه به ۹۰ دقیقه) به طور قابل توجهی افزایش می‌یابد به نحوی که بعد از ۶۰ دقیقه از بین رفتن باکتری روند تقریباً ثابتی دارد. آن‌ها نشان دادند ۱۰۰ درصد باکتری‌ها در مدت ۶۰ تا ۷۵ دقیقه تماس با غلظت  $0/8$  گرم در لیتر TiO<sub>2</sub> از بین می‌روند(۱۸). بررسی Liu و همکاران در خصوص تجزیه فتوکاتالیستی اشرشیاکلی در آب با استفاده از نور خورشید و nTiO<sub>2</sub> و نوع جدید نانوذره که با ازت داپ شده بود

## سپاسگزاری

بدینویسه از حمایت مالی گروه تحقیقات و بهرهبرداری شرکت آب و فاضلاب رostaی استان گلستان در تامین هزینه این تحقیق با شماره طرح ملی ۹۱/۱۹۲۰ سپاسگزاری می‌گردد. از معاونت محترم تحقیقات و فناوری دانشگاه علوم پزشکی مازندران و کارکنان آزمایشگاه میکروبیولوژی دانشکده بهداشت ساری که شرایط انجمن تحقیق را فراهم آورده‌اند، قدردانی می‌شود.

۴۰ دقیقه به ترتیب  $۷۵/۱ \pm ۱۲/۷$ ،  $۸۸/۹$  و  $۱۰۰$  درصد می‌باشد.

کارایی نابودی باکتری در دوز  $۰/۸$  گرم در لیتر  $n\text{TiO}_2$  دی‌اکسید تیتانیوم با دوز  $۰/۲$  گرم در لیتر معنی دار است و در سایر موارد معنی دار نیست. هرچند با افزایش دوز نانو، نابودی باکتری‌ها روند افزایش دارد اما این افزایش کند است که ناشی از اثرات پراکنده‌گی نور به‌واسطه افزایش مقدار نانوذره خواهد بود.

## References

- Zazouli M, Safarpour Ghadi M, Veisi A, Habibkhani P. Bacterial Contamination in Bottled Water and Drinking Water Distribution Network in Semnan, 2012. J Mazandaran Univ Med Sci 2013; 22(1): 151-159 (Persian).
- Hashemi Karouei SM, Eslamifar M, Zazouli MA. Determination of Fecal Coliform Contamination of Water Supplies in Some Rural Areas of Sari, Iran with Most Probable Number Test. J Mazandaran Univ Med Sci 2013; 23(104): 89-95 (Persian).
- Hrudey SE, Hrudey EJ. Alternative Disinfectants and Oxidants Guidance Manual. Safe Drinking Water: Lessons from Recent Outbreaks; Washington D.C: U.S. EPA; Environmental Protection Agency; 1999. p. 346.
- Environmental protection Agency (EPA). Water Treatment Manual: Disinfection. Johnstown Castle, Co. Wexford, Irland 2011.
- Alipoor V, Bazrafshan E. Water Treatment, Theoretical and Practical Principle of Operation of Drinking Water Facilities. Isfahan: Soroush; 2002 (Persian).
- Zazouli MA, Bazrafshan E. Water and Wastewater Technology. Tehran: Samat; 2009 (Persian).
- Nakata K, Fujishima A. TiO<sub>2</sub> photocatalysis: Design and Applications. Journal of Photochemistry and Photobiology C: Photochemistry Reviews 2012; 13(3): 169-189.
- Li Q, Mahendra S, Lyon DY, Brunet L, Liga MV, Li D, et al. Antimicrobial Nanomaterials for Water Disinfection and Microbial Control: Potential Applications and Implications. Water Res 2008; 42(18): 4591-602.
- Eslami A. Survey on the Potential of Photocatalytic Processes for Degradation of MTBE in Contaminated Water. PhD thesis of environmental Health engineering. Tehran Univ Medic Sci. 2007.
- Rahim S, Radman S, Hamzah A. Inactivation of Escherichia coli under Fluorescent Lamp using TiO<sub>2</sub> Nanoparticles Synthesized Via Sol Gel Method. Sains Malaysiana 2012; 41(2): 219-224.
- Cheng Z, Ting K-E, Tao Y, Goh A, Yin X-J. Studies on Water Treatment using Nano-Semiconductors as Photocatalysts. Sustain Environ Res 2010; 20(5): 281-286.
- Lydakis-Simantiris N, Riga D, Katsivela E, Mantzavinos D, Xekoukoulakis NP. Disinfection of Spring Water and Secondary Treated Municipal Wastewater by TiO<sub>2</sub>

- 
- Photocatalysis. Desalination 2010; 250(1): 351-355.
13. Coleman HM, Marquis CP, Scott JA, Chin SS, Amal R. Bactericidal Effects of Titanium Dioxide-based Photocatalysts. Chemical Engineering Journal 2005; 113(1): 55-63.
  14. Liu Y, Li J, Qiu X, Burda C. Novel TiO<sub>2</sub> Nanocatalysts for Wastewater Purification: Tapping Energy from the Sun. Water Sci Technol 2006; 54(8): 47-54.
  15. Available from: <http://ptcc.irost.org/>. Accessed February 20, 2015 (Persian).
  16. Standard Methods for the Examination of Water and Wastewater. 22nd ed: American Water Works Assn (AWWA); 2012.
  17. Garcia L. Preparation of Routine Media and Reagents Used in Antimicrobial Susceptibility Testing. In: Clinical Microbiology Procedures Handbook. Garcia LS. 3rd ed. Washington, DC: ASM Press; 2010. p. 181-201.
  18. Rahmani A, Samarghandi M, Samadi M, Nazami F. Photocatalytic Disinfection of Coliform Bacteria using UV/TiO<sub>2</sub>. J Res Health Sci 2009; 9(1): 1-6.
  19. Sunada K, Watanabe T, Hashimoto K. Studies on Photokilling of Bacteria on TiO<sub>2</sub> Thin Film. Journal of Photochemistry and Photobiology A: Chemistry 2003; 156(1-3): 227-233.
  20. Pratap Reddy M, Phil H, Subrahmanyam M. Photocatalytic Disinfection of Escherichia coli over Titanium (IV) Oxide Supported on H $\beta$  Zeolite. Catalysis Letters 2008; 123(1-2): 56-64.
  21. Kumar RV, Raza G. Photocatalytic Disinfection of Water with Ag-TiO<sub>2</sub> Nanocrystalline Composite. Ionics 2009; 15(5): 579-587.